

境界要素法の拡散解析への適用

神戸大学工学部

正員

松梨順二郎

神戸市役所

"

○中後 豊

神戸大学工学部

学生員

吉川 雅彦

1. まえがき；近年、電子計算機による数値シミュレーション手法の一つとして境界要素法が開発されている。これは与えられた境界値問題、初期値問題を境界積分方程式に帰着し、有限要素法と同様な離散化手法によつてこれを解くという手法で、問題の次元が1次元下がるという特色がある。本研究はラプラス方程式、移流項を含まない拡散方程式の定式化の過程を調べ、数値シミュレーションを行なうことにより、て境界要素法の拡散解析への有効性を検討した。

2. ラプラス方程式；図1に示す境界値問題、即ち領域 Ω 内で支配方程式、 $\nabla^2\psi = 0$ 、境界 Γ 上で基本境界条件、 $\psi = \bar{\psi}$ 、境界 Γ 上で自然境界条件、 $\gamma = \partial\psi/\partial n = \bar{\gamma}$ を境界要素法により解くことを考える。この境界値問題の重み付き残差法による定式化は、

$$\int_{\Omega} (\nabla^2 \psi^*) d\Omega = - \int_{\Gamma_1} \bar{\gamma} \psi^* d\Gamma - \int_{\Gamma_2} \bar{\psi} \psi^* d\Gamma + \int_{\Gamma_1} \gamma \bar{\psi}^* d\Gamma + \int_{\Gamma_2} \bar{\gamma} \bar{\psi}^* d\Gamma \quad \dots (1)$$

ここにバーは既知量を表わし、 $\gamma = \partial\psi/\partial n$ 、 $\psi^* = \partial\bar{\psi}/\partial n$ である。 ψ^* は重み関数であり、次式の解である基本解を用いる。 $\nabla^2\psi^* + \Delta^2 = 0 \dots (2)$

この式の解は点 i に連続的に単位負荷を与えたときの点 i から距離 r の点における定常濃度を表わし、2次元では $\psi^* = \frac{1}{2\pi} \ln(\frac{1}{r})$ である。

(2)式より(1)式は、 $\psi^* + \int_{\Gamma} \psi \bar{\psi}^* d\Gamma = \int_{\Gamma} \bar{\psi} \psi^* d\Gamma \dots (3)$

ここに、 $\Gamma = \Gamma_1 + \Gamma_2$ 、 ψ は領域内の点 i における ψ の値である。(3)式を境界上に適用すると、 $c^i \psi^* + \int_{\Gamma} \psi \bar{\psi}^* d\Gamma = \int_{\Gamma} \bar{\psi} \psi^* d\Gamma \dots (4)$

ここに、 $c^i = 1 - \frac{\theta}{2\pi}$ 、 θ は点 i を共有して隣接する境界線のなす角のうち、その外角である。式(4)の境界積分は一般に求めるのが困難である。そこで図2で示すように境界を N 個の要素に分割し、境界積分を近似的に求める。

・(4)式を離散化すると、

$$c^i \psi^* + \sum_{j=1}^N \int_{\Gamma_j} \psi \bar{\psi}^* d\Gamma = \sum_{j=1}^N \int_{\Gamma_j} \bar{\psi} \psi^* d\Gamma \dots (5)$$

線形要素では要素の端点が節点となる。式(5)の境界積分はガウスの4点積分公式を使つて求めた。境界上の全節点数を N とすると、(5)式は N 個の式を与える。この連立方程式を解くと、境界各節点における未知量、 ψ 、 $\bar{\psi}$ が

Junzaburō MATSUNASHI Yutaka NAKAGO Masahiko YOSHIKAWA

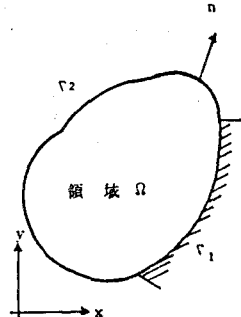


図1 領域と境界

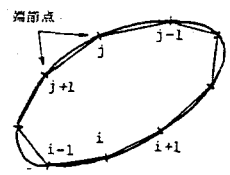


図2 線形要素

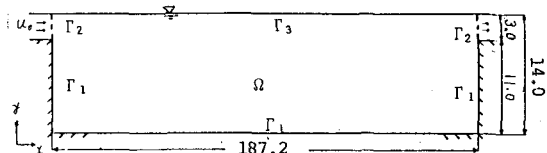


図3 (単位はcm)

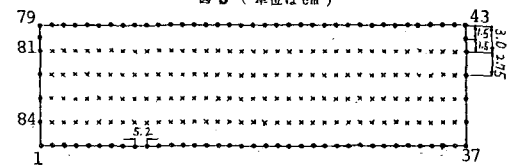


図4 (図中の長さの単位はcm)

求まる。こうして境界節点上の ψ , ψ が全て求まると、領域内の ψ は(3)式を離散化することによって同様に求めることができる。計算の一例として図3に示す最終沈殿池の流速を計算する。流れ関数を $\psi(x, y)$ とすると支配方程式は領域内で、 $\nabla^2\psi = 0$, 境界条件は Γ_1 上 $\psi = 0.0$, Γ_2 上 $\psi = u_0 h = 2.22$, Γ_3 上では y 方向の流速がないとして、 $\partial\psi/\partial n = 0.0$ とした。図4の・印は節点、 \times 印は内点である。流入口の流量は $Q = u_0 h B = 114 \text{ cm}^3/\text{s}$ とした。ここに $B = 51.4(\text{cm})$, $u_0 = 0.74(\text{cm}/\text{s})$, $h = 3.0(\text{cm})$ とした。図5は流線を表わし、図6は流向図である。なお、内点の流速は $u = \partial\psi/\partial y$, $v = -\partial\psi/\partial x$ を差分表示することにより求めた。流入、流出部分を除いて領域の大部分で流速はほぼ水平となり、 u は約 $0.158(\text{cm}/\text{s})$, v は $10^{-4} \sim 10^{-6}(\text{cm}/\text{s})$ のオーダーとなつた。モデルの高さと長さの比は、 $14.0 : 187.2$ であり、ほぼ妥当な結果と考えられる。

3. 拡散方程式；図1において無次元支配方程式は $\partial C/\partial t = D\nabla^2 C$, 境界条件は Γ_1 上で基本境界条件、 $C = \bar{C}$, Γ_2 上で自然境界条件、 $\gamma = \partial C/\partial n = \bar{\gamma}$, 初期条件は、 $C = f(x, y)$ とする。ここに C は濃度、 γ は拡散係数、 t は時間とする。この問題に重み付き残差法を適用すると次式を得る。
$$\iint_{\Omega} \left(D \nabla^2 C^* + \frac{\partial C^*}{\partial t} \right) C d\Omega dt - \left[\int_{\Omega} C^* C d\Omega \right]_{t=0}^{t=\tau} = \tau \iint_{\Gamma} C \gamma^* d\Gamma dt - D \iint_{\Gamma} \gamma C^* d\Gamma dt \dots (6)$$

C^* は基本解で、 $C^* = \frac{1}{4\pi D(\tau-t)} \exp\left(-\frac{r^2}{4D(\tau-t)}\right) \dots (7)$ である。

基本解の性質は、 $0 \leq t < \tau$ のとき Ω 内で、 $D \nabla^2 C^* + \frac{\partial C^*}{\partial t} = 0$,

$t = \tau$ のとき $\int_{\Omega} C^* C d\Omega = C_0$ である。この性質と(6)式より内点の方程式として次式を得る。

$$C^* + \tau \iint_{\Gamma} C^* \gamma d\Gamma dt = \tau \iint_{\Gamma} C^* \gamma d\Gamma dt + \left[\int_{\Omega} C C^* d\Omega \right]_{t=0}^{t=\tau} \dots (8)$$

ここに $\gamma = \partial C/\partial n$, $\gamma^* = \partial C^*/\partial n$ とする。 C , γ は C^* , γ^* に比べて時間変化は緩やかであり、微少時間間隔 Δt では一定であるとして、 Δt ごとに時間積分を段階ごとに実行する。(8)式を境界上に適用し、境界要素として線形要素、内部要素として四角形一次要素を用いて離散化することによって、境界上および内点の C を求めた。計算例は図7に示すモデルで、境界条件は $\Gamma_1, t > 0, C = 0$, $\Gamma_2, \Gamma_3, t > 0, \partial C/\partial n = 0$, $\Gamma_4, t > 0, C = \exp(-\pi^2 D t)$, 初期条件は $C = \sin(\pi x)$ とした。この問題の厳密解は、 $C = \exp(-\pi^2 D t) \sin(\pi x)$ である。図8より、数値解と厳密解とは良好な一致を示していることがわかる。

参考文献 C.A.ブレビア, S.ウォーカー共著 “境界要素法の基礎と応用”

L.C.Wrobel and C.A.Brebbia "Boundary Elements in Thermal Problems"

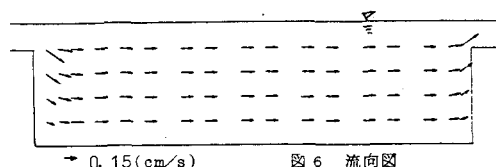
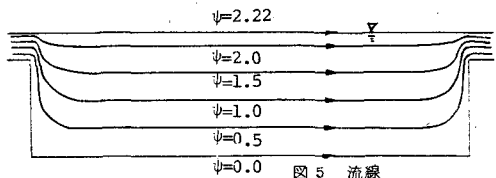


図 6 流向図

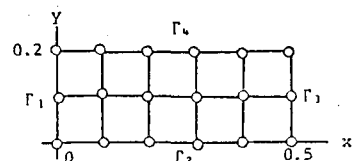


図 7 メッシュ分割図

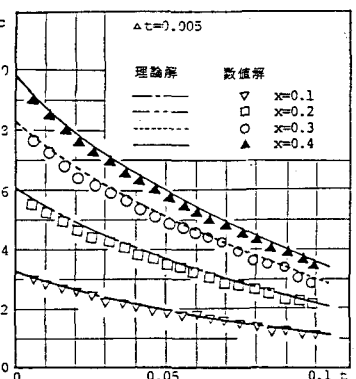


図 8 理論解と数値解の比較